

Далее получено семейство кривых температур от расстояния при конкретных значениях возраста Солнца. Исходным материалом для получения зависимости температуры от координаты – это максимальные температуры на существующих планетах Меркурий, Земля, Марс, Юпитер, Сатурн в настоящее время (возраст Солнца 5 млрд лет).

Температура Венеры не учитывалась из-за парникового эффекта на этой планете.

**Выводы:** 1 Максимальная температура на планетах менялась с течением времени, при этом она уменьшалась, т. к. Солнце остывало, предположительно из-за убыли дейтерия ( ${}^2_1\text{H}$ ) и трития ( ${}^3_1\text{H}$ ) в его недрах.

2 Получена зависимость температуры Солнца от времени и понижение температуры в солнечной системе в зависимости от расстояния от Солнца.

#### Список литературы

- 1 Бурханов, Ш. Д. Экология космоса и соответствующие оценки в астрономии / Ш. Д. Бурханов, С. Ш. Бурханов, Р. М. Мирсаатов // ТИТЛП. Ч. 2, Ташкент, октябрь, 2010. – С. 249–252.
- 2 Климишин, И. А. Релятивистская астрономия / И. А. Климишин. – М.: Наука, 1993.
- 3 Бурханов, С. Ш. О приближении Земли к Солнцу / С. Ш. Бурханов, Ш. Д. Бурханов, Р. Курбанов; ТХТИ // Республиканский межвузовский сборник. – Ташкент, 2011. – С. 63–65.
- 4 Бурханов, Ш. Д. Температура поверхности солнца / Ш. Д. Бурханов, С. Ш. Бурханов // Актуальные проблемы молекулярной спектроскопии конденсированных сред: тез. докл. 5-й Междунар. конф. – Самарканд, 2016. – С. 158.

УДК 539.3

### ИССЛЕДОВАНИЕ НАПРЯЖЕННО-ДЕФОРМИРОВАННОГО СОСТОЯНИЯ ПОЛУПОЛОСЫ, ОСЛАБЛЕННОЙ ПРОДОЛЬНОЙ ТРЕЩИНОЙ

*Н. Д. ВАЙСФЕЛЬД, З. Ю. ЖУРАВЛЁВА, В. В. РЕУТ*  
*Одесский национальный университет им. И. И. Мечникова, Украина*

Рассматривается упругая полуполоса, которая занимает область, описываемую в декартовой системе координат соотношениями  $0 < x < a, 0 < y < \infty$ . Боковые грани полуполосы находятся в условиях защемления  $u(0, y) = 0, v(0, y) = 0, u(a, y) = 0, v(a, y) = 0$ . По короткому торцу на полуполосу действует нормальная нагрузка интенсивности  $p(x)$

$$\sigma_y|_{y=0} = p(x), \quad \tau_{xy}|_{y=0} = 0, \quad 0 < x < a. \quad (1)$$

Внутри полуполосы на линии  $b_0 < y < b_1, x = C$  расположена продольная трещина

$$u(C-0, y) - u(C+0, y) = \langle u(C, y) \rangle = \varphi_1(y) \neq 0, \quad b_0 < y < b_1; \quad (2)$$

$$v(C-0, y) - v(C+0, y) = \langle v(C, y) \rangle = \varphi_2(y) \neq 0, \quad b_0 < y < b_1;$$

$$\tau_{xy}(C-0, y) - \tau_{xy}(C+0, y) = \langle \tau_{xy}(C, y) \rangle = 0, \quad b_0 < y < b_1; \quad (3)$$

$$\sigma_x(C-0, y) - \sigma_x(C+0, y) = \langle \sigma_x(C, y) \rangle = 0, \quad b_0 < y < b_1.$$

Необходимо определить смещения и напряжения, которые удовлетворяют краевым условиям на боковых гранях, на коротком торце (1), условиям на трещине (2)–(3) и уравнениям равновесия Ламе.

Для сведения исходной задачи к одномерной к уравнениям равновесия Ламе и краевым условиям применяется полубесконечное  $\sin$ -,  $\cos$ -преобразование Фурье по переменной  $y$ . Разрывная краевая задача в пространстве трансформант формулируется в векторном виде. Её решение строится в виде суперпозиции общего решения однородного векторного уравнения и частного решения неоднородного векторного уравнения. Общее решение однородного векторного уравнения построено с помощью аппарата матричного дифференциального исчисления [1]. Для построения частного решения к векторной разрывной краевой задаче применяется матричное интегральное преобразование по обобщённой схеме [2]. В результате частное решение векторного уравнения выражается через матрицу-функцию Грина, построенную в виде билинейного разложения.

Обращая интегральное преобразование, получаем выражения для функций перемещений, которые зависят от трёх неизвестных функций  $\chi(x), \varphi_1(x), \varphi_2(x)$ , где  $\chi(x) = v(x, 0)$ .

Подстановка выражений для функций перемещений в условия  $\sigma_y|_{y=0} = p(x)$ ,  $\tau_{xy}|_{x=C-0} = 0$ ,  $\sigma_x|_{x=C-0} = 0$ , приводит к системе трёх сингулярных интегральных уравнений

$$\begin{cases} \int_{-1}^1 \tilde{\chi}(\xi) Z(x, \xi) d\xi + \tilde{K}_0(x) = \tilde{r}(x), x \in I_1; \\ \frac{d^2}{dy^2} \int_{-1}^1 \tilde{\varphi}_1(\eta) \ln \frac{1}{|\eta - y|} d\eta + \tilde{K}_1(y) = 0, y \in I_1; \\ \frac{d^2}{dy^2} \int_{-1}^1 \tilde{\varphi}_2(\eta) \ln \frac{1}{|\eta - y|} d\eta + \tilde{K}_2(y) = 0, y \in I_1 \end{cases} \quad (4)$$

с дополнительным условием  $\int_{-1}^1 \tilde{\chi}(\xi) d\xi = 0$ ,

где  $\tilde{\chi}(\xi) = \chi\left(\frac{a(\xi+1)}{2}\right)$ ,  $\tilde{\varphi}_i(\eta) = \varphi_i\left(\frac{(b_1 - b_0)\eta + (b_1 + b_0)}{2}\right)$ ,  $i = 1, 2$ ,  $I_1 = [-1; 1]$ ;

$$\tilde{K}_0(x) = \int_{-1}^1 \tilde{\chi}(\xi) \tilde{f}_0(\xi, x) d\xi + \int_{-1}^1 \tilde{\varphi}_1(\eta) \tilde{R}_{0,1}(+0, \eta) d\eta + \int_{-1}^1 \tilde{\varphi}_2(\eta) \tilde{R}_{0,2}(+0, \eta) d\eta;$$

$$\tilde{K}_i(y) = \int_{-1}^1 \tilde{\chi}(\xi) \tilde{f}_i(\xi, C+0) d\xi + \int_{-1}^1 \tilde{\varphi}_1(\eta) \tilde{R}_{i,1}(y, \eta) d\eta + \int_{-1}^1 \tilde{\varphi}_2(\eta) \tilde{R}_{i,2}(y, \eta) d\eta, i = 1, 2;$$

$$Z(x, \xi) = h_1 \left( \frac{1}{\xi + x - 2} + \frac{1}{\xi + x + 2} \right) + h_2 \left( \frac{x-1}{(\xi + x - 2)^2} + \frac{x+1}{(\xi + x + 2)^2} \right) + h_3 \left( \frac{(\xi-1)(x-1)}{(\xi + x - 2)^3} + \frac{(\xi+1)(x+1)}{(\xi + x + 2)^3} \right);$$

$h_1 = -\frac{\kappa^2 - 3}{2\kappa}$ ,  $h_2 = -\frac{2}{\kappa}$ ,  $h_3 = \frac{4}{\kappa}$ ,  $\tilde{f}_i(\xi, x)$ ,  $\tilde{R}_{i,1}(y, \eta)$ ,  $\tilde{R}_{i,2}(y, \eta)$ ,  $\tilde{r}(x)$ ,  $i = 0, 1, 2$  – известные функции.

Для учёта неподвижной особенности в первом уравнении системы (4) построено трансцендентное уравнение

$$\cos(\lambda\pi) + \frac{2}{3-4\mu} \lambda^2 - \frac{4}{3-4\mu} \lambda - \frac{8\mu^2 - 12\mu + 3}{3-4\mu} = 0$$

и найдены его корни. Система (4) решается по специальной методике [3], согласно которой неизвестные функции разыскиваются в виде

$$\tilde{\chi}(\xi) = \sum_{k=0}^{N-1} [s_k^0 \rho_k^-(\xi) + s_{k+N}^0 \rho_k^+(\xi)], \quad \xi \in [-1; 1]; \quad (5)$$

$$\tilde{\varphi}_i(\eta) = \sum_{n=0}^{2N-1} s_n^i \sqrt{1-\eta^2} U_n(\eta), \quad \eta \in [-1; 1], i = 1, 2. \quad (6)$$

Промежуток  $[-1; 1]$  делится на  $2N$  частей точками  $x_i: P_{2N-1}^{\lambda_0, \lambda_0}(x_i) = 0, i = \overline{0, 2N-1}$ , и система сингулярных интегральных уравнений (4) рассматривается при  $x = x_i, i = \overline{0, 2N-1}$ . В результате приходим к решению системы линейных алгебраических уравнений.

Для подсчёта коэффициентов интенсивности напряжений на концах трещины используются следующие формулы:

$$K_{I-} = \sum_{k=0}^{\infty} s_k^1 \frac{\sqrt{\pi(b_1 - b_0)}(n+1)(-1)^k}{\sqrt{2}}; \quad K_{I+} = \sum_{k=0}^{\infty} s_k^1 \frac{\sqrt{\pi(b_1 - b_0)}(n+1)}{\sqrt{2}};$$

$$K_{II-} = \sum_{k=0}^{\infty} s_k^2 \frac{\sqrt{\pi(b_1 - b_0)}(n+1)(-1)^k}{\sqrt{2}}; \quad K_{II+} = \sum_{k=0}^{\infty} s_k^2 \frac{\sqrt{\pi(b_1 - b_0)}(n+1)}{\sqrt{2}}.$$

В работе представлена новая методика решения плоской смешанной задачи теории упругости для полуполосы, ослабленной продольной трещиной. Решение задачи свелось к решению системы трёх сингулярных интегральных уравнений, первое из которых содержит две неподвижные особен-

ности. Для их учёта построено трансцендентное уравнение, найдены его корни и применена специальная методика. Подсчитаны коэффициенты интенсивности напряжений на концах трещины. Исследовано их изменение при изменении длины трещины и её положения внутри полуполосы.

#### Список литературы

1 Vaysfel'd, N. On one new approach to the solving of an elasticity mixed plane problem for the semi-strip / N. Vaysfel'd, Z. Zhuravlova // Acta Mechanica. – 2015. – Vol. 226. – No.12. – P. 4159–4172. – DOI: 10.1007/s00707-015-1452-x.

2 Попов, Г. Я. Концентрация упругих напряжений возле штампов, разрезов, тонких включений и подкреплений / Г. Я. Попов. – М.: Наука, 1982. – 344 с.

3 Reut, V. Elastic crack-tip stress field in a semi-strip / V. Reut, N. Vaysfeld, Z. Zhuravlova // Frattura ed Integrita Strutturale. – No. 44. – 2018. – P. 82–93. – DOI: 10.3221/LGF-ESIS.44.07.

УДК 539.3

### ИССЛЕДОВАНИЕ НАПРЯЖЁННО-ДЕФОРМИРОВАННОГО СОСТОЯНИЯ ЧЕТВЕРТИ ПРОСТРАНСТВА

*Н. Д. ВАЙСФЕЛЬД, А. В. ПОЖИЛЕНКОВ*

*Одесский национальный университет имени И. И. Мечникова, Украина*

Рассматривается упругая область  $0 < x < \infty$ ,  $-\infty < y < \infty$ ,  $0 < z < \infty$  (рисунок 1). По грани  $x = 0$  выполняются условия защемления

$$u(0, y, z) = v(0, y, z) = w(0, y, z)$$

На грани  $z = 0$  краевые условия могут быть произвольными, но для определенности выберем наиболее интересные условия первой основной задачи теории упругости

$$\sigma_z \Big|_{z=0} = -p(x, y), \quad \tau_{zx} \Big|_{z=0} = \tau_{zy} \Big|_{z=0} = 0.$$

Требуется отыскать поле смещений и напряжений, удовлетворяющее поставленным краевым условиям и уравнениям равновесия

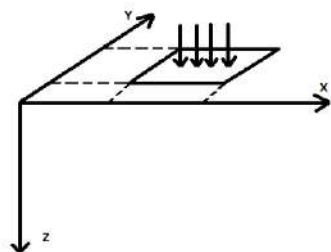


Рисунок 1 – Геометрическое представление задачи

$$\begin{cases} \Delta u + \mu_0 \frac{\partial \theta}{\partial x} = 0; \\ \Delta v + \mu_0 \frac{\partial \theta}{\partial y} = 0; \\ \Delta w + \mu_0 \frac{\partial \theta}{\partial z} = 0, \end{cases}$$

где  $\Delta = \frac{\partial^2}{\partial x^2} + \frac{\partial^2}{\partial y^2} + \frac{\partial^2}{\partial z^2}$  – оператор Лапласа;  $\theta = \frac{\partial u}{\partial x} + \frac{\partial v}{\partial y} + \frac{\partial w}{\partial z}$  –

объемное расширение;  $\mu_0 = \frac{1}{1-2\mu}$ ;  $\mu$  – коэффициент Пуассона;  $u, v, w$  – смещения по осям  $x, y$  и  $z$  соответственно.

Для решения задачи были введены две новые функции [1]:  $Z = u' + v$ ,  $Z^* = v' - u$ , здесь штрих над буквой обозначает производную по  $x$ , а точка – производную по переменной  $y$ . В результате исходная система уравнений равновесия распалась на два совместно решаемых и одно отдельно решаемое уравнение. Применение интегральных преобразований привело в пространстве трансформант Фурье к системе обыкновенных дифференциальных уравнений

$$\begin{cases} w''_{\alpha\beta}(z) - \mu_*^{-1} N_{\alpha\beta}^2 w_{\alpha\beta}(z) + \mu_*^{-1} \mu_0 Z'_{\alpha\beta} = 0; \\ Z'_{\alpha\beta}(z) - N_{\alpha\beta}^2 [\mu_* Z_{\alpha\beta}(z) + \mu_0 w'_{\alpha\beta}(z)] = 0, \end{cases}$$

где  $N_{\alpha\beta}^2 = \alpha^2 + \beta^2$ ,  $\alpha$  и  $\beta$  – параметры интегральных преобразований Фурье.